

# DATI REGIONE LIGURIA-CESBIN SUI PRELIEVI DI TORDO BOTTACCIO NEL CORSO DELLE STAGIONI 2012-13 – 2020-21.

## STAGIONE 2012-2013

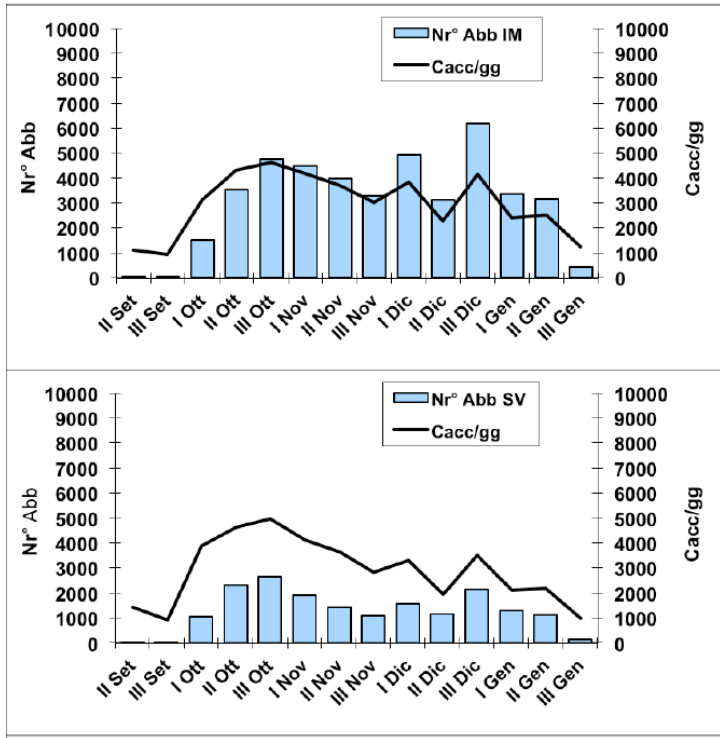


Fig. 30. Andamento degli abbattimenti di Tordo bottaccio (*T. philomelos*) e di presenze cacciatori/giorno nella Provincia di Imperia nella Stagione Venatoria 2012-2013.

Fig. 31. Andamento degli abbattimenti di Tordo bottaccio (*T. philomelos*) e di presenze cacciatori/giorno nella Provincia di Savona nella Stagione Venatoria 2012-2013.

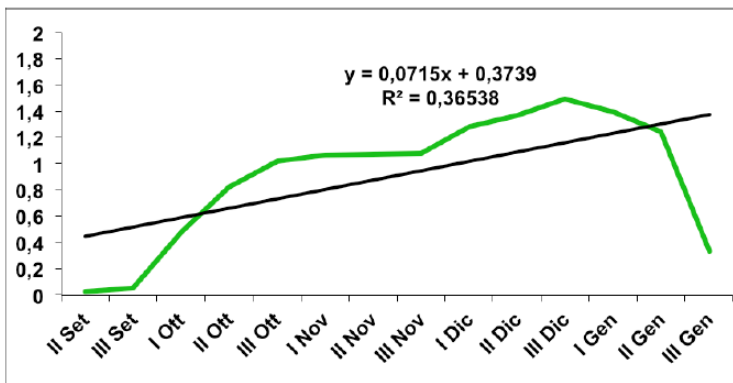


Fig. 34. Catture Per Unità di Sforzo (CPUE) di Tordo bottaccio (*T. philomelos*) nella Provincia di Imperia nella Stagione Venatoria 2012-2013. Nel grafico è riportata la linea di tendenza (regressione lineare), la relativa equazione ed il coefficiente di correlazione ( $R^2$ ).

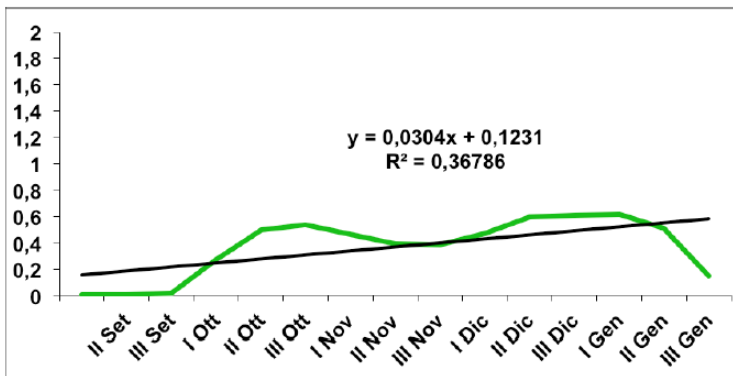


Fig. 35. Catture Per Unità di Sforzo (CPUE) di Tordo bottaccio (*T. philomelos*) nella Provincia di Savona nella Stagione Venatoria 2012-2013. Nel grafico è riportata la linea di tendenza (regressione lineare), la relativa equazione ed il coefficiente di correlazione ( $R^2$ ).

# STAGIONE 2013-2014

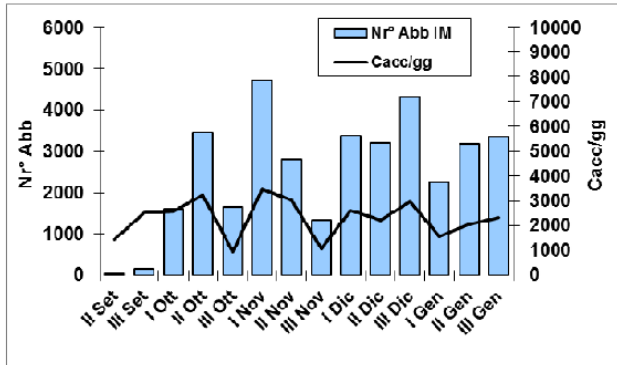


Fig. 30. Andamento degli abbattimenti di Tordo bottaccio (*T. philomelos*) e di presenze cacciatori/giorno nella Provincia di Imperia nella Stagione Venatoria 2013-2014.

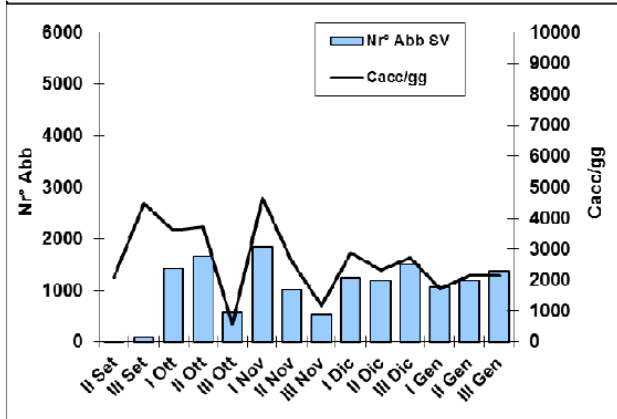


Fig. 31. Andamento degli abbattimenti di Tordo bottaccio (*T. philomelos*) e di presenze cacciatori/giorno nella Provincia di Savona nella Stagione Venatoria 2013-2014.

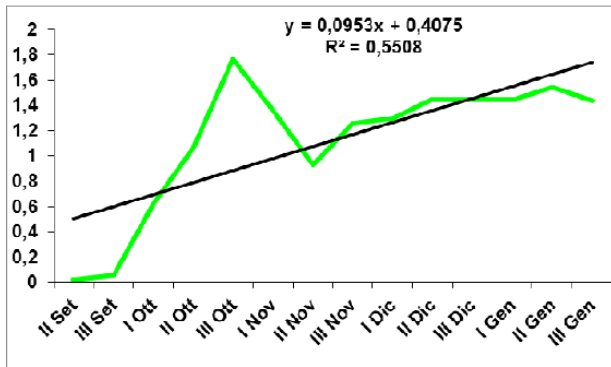


Fig. 34. Catture Per Unità di Sforzo (CPUE) di Tordo bottaccio (*T. philomelos*) nella Provincia di Imperia nella Stagione Venatoria 2013-2014. Nel grafico è riportata la linea di tendenza (regressione lineare), la relativa equazione ed il coefficiente di correlazione ( $R^2$ ).

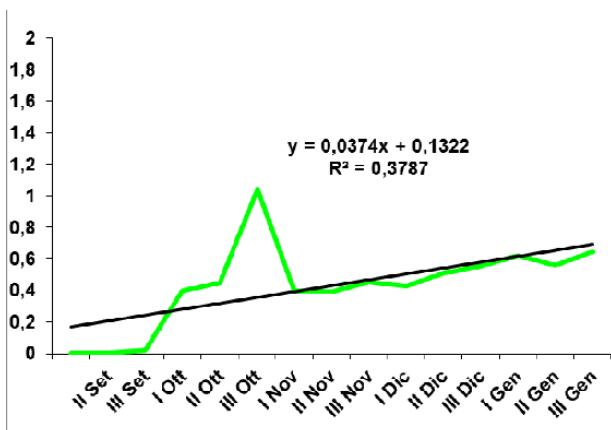


Fig. 35. Catture Per Unità di Sforzo (CPUE) di Tordo bottaccio (*T. philomelos*) nella Provincia di Savona nella Stagione Venatoria 2013-2014. Nel grafico è riportata la linea di tendenza (regressione lineare), la relativa equazione ed il coefficiente di correlazione ( $R^2$ ).

# STAGIONE 2014-2015

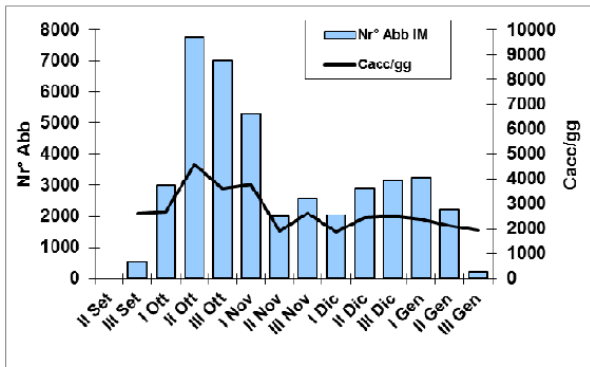


Fig. 30. Andamento degli abbattimenti di Tordo bottaccio (*T. philomelos*) e di presenze cacciatori/giorno nella Provincia di Imperia nella Stagione Venatoria 2014-2015.

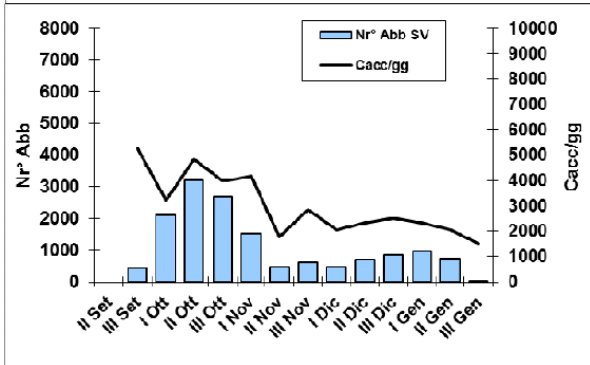


Fig. 31. Andamento degli abbattimenti di Tordo bottaccio (*T. philomelos*) e di presenze cacciatori/giorno nella Provincia di Savona nella Stagione Venatoria 2014-2015.

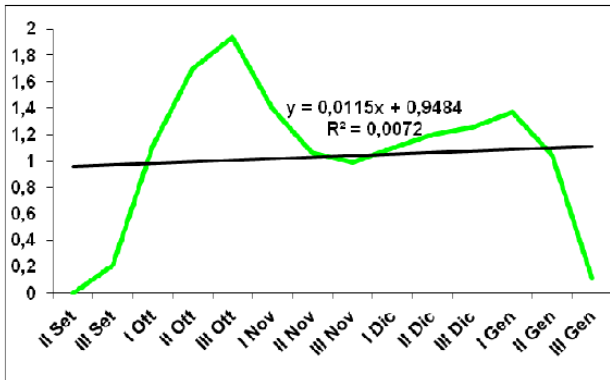


Fig. 34. Cature Per Unità di Sforzo (CPUE) di Tordo bottaccio (*T. philomelos*) nella Provincia di Imperia nella Stagione Venatoria 2014-2015. Nel grafico è riportata la linea di tendenza (regressione lineare), la relativa equazione ed il coefficiente di correlazione ( $R^2$ ).

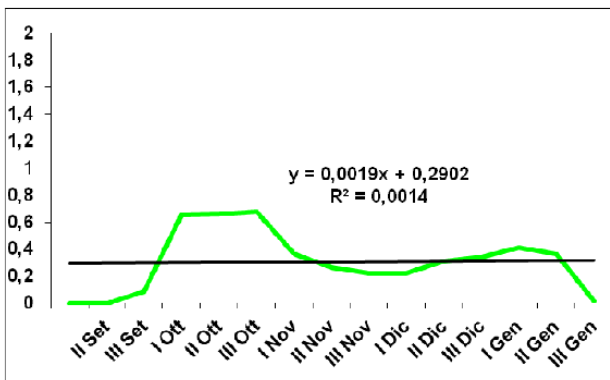


Fig. 35. Cature Per Unità di Sforzo (CPUE) di Tordo bottaccio (*T. philomelos*) nella Provincia di Savona nella Stagione Venatoria 2014-2015. Nel grafico è riportata la linea di tendenza (regressione lineare), la relativa equazione ed il coefficiente di correlazione ( $R^2$ ).

## STAGIONE 2015-2016

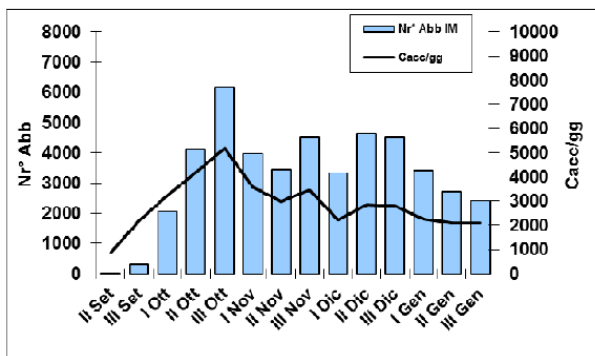


Fig. 30. Andamento degli abbattimenti di Tordo bottaccio (*T. philomelos*) e di presenze cacciatori/giorno nella Provincia di Imperia nella Stagione Venatoria 2015-2016.

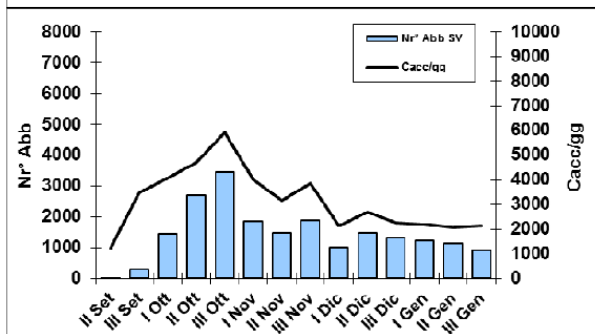


Fig. 31. Andamento degli abbattimenti di Tordo bottaccio (*T. philomelos*) e di presenze cacciatori/giorno nella Provincia di Savona nella Stagione Venatoria 2015-2016.

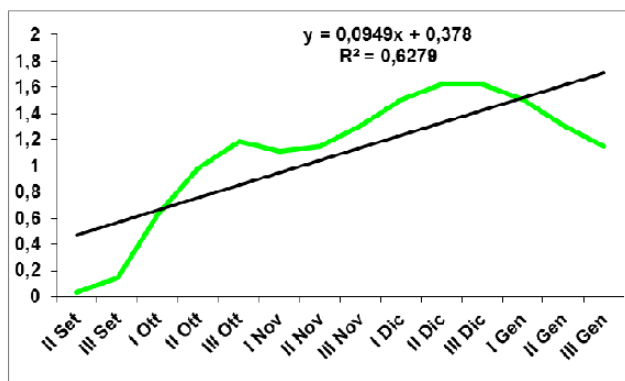


Fig. 34. Cature Per Unità di Sforzo (CPUE) di Tordo bottaccio (*T. philomelos*) nella Provincia di Imperia nella Stagione Venatoria 2015-2016. Nel grafico è riportata la linea di tendenza (regressione lineare), la relativa equazione ed il coefficiente di correlazione ( $R^2$ ).

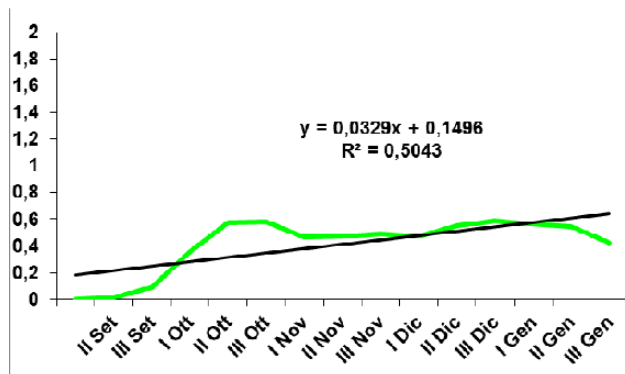


Fig. 35. Cature Per Unità di Sforzo (CPUE) di Tordo bottaccio (*T. philomelos*) nella Provincia di Savona nella Stagione Venatoria 2015-2016. Nel grafico è riportata la linea di tendenza (regressione lineare), la relativa equazione ed il coefficiente di correlazione ( $R^2$ ).

# STAGIONE 2016-2017

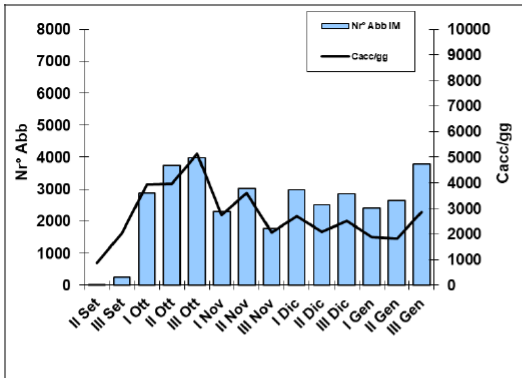


Fig. 30. Andamento degli abbattimenti di Tordo bottaccio (*T. philomelos*) e di presenze cacciatori/giorno nella Provincia di Imperia nella Stagione Venatoria 2016-2017.

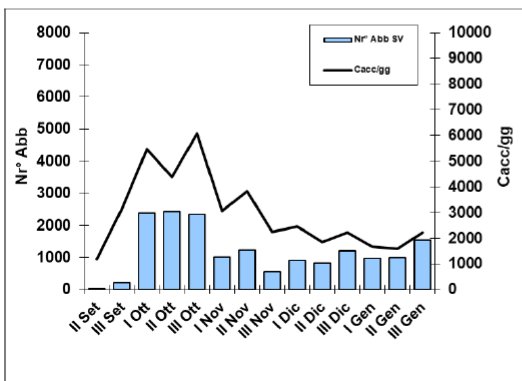


Fig. 31. Andamento degli abbattimenti di Tordo bottaccio (*T. philomelos*) e di presenze cacciatori/giorno nella Provincia di Savona nella Stagione Venatoria 2016-2017.

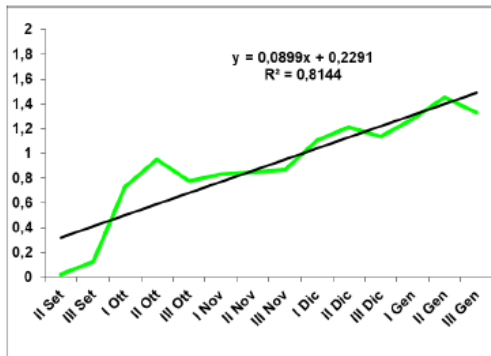


Fig. 34. Cature Per Unità di Sforzo (CPUE) di Tordo bottaccio (*T. philomelos*) nella Provincia di Imperia nella Stagione Venatoria 2016-2017.

Nel grafico è riportata la linea di tendenza (regressione lineare), la relativa equazione ed il coefficiente di correlazione ( $R^2$ ).

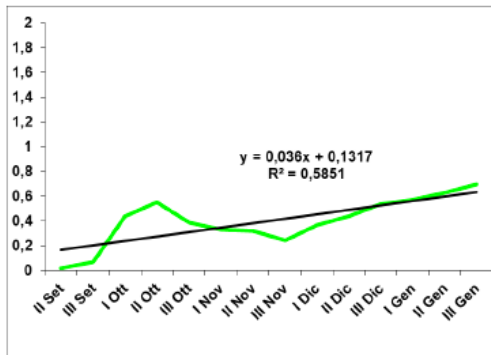


Fig. 35. Cature Per Unità di Sforzo (CPUE) di Tordo bottaccio (*T. philomelos*) nella Provincia di Savona nella Stagione Venatoria 2016-2017.

Nel grafico è riportata la linea di tendenza (regressione lineare), la relativa equazione ed il coefficiente di correlazione ( $R^2$ ).

# STAGIONE 2017-2018

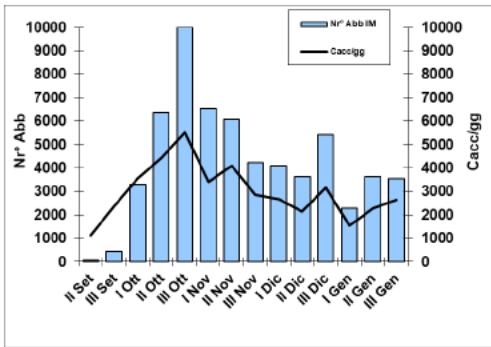


Fig. 30. Andamento degli abbattimenti di Tordo bottaccio (*T. philomelos*) e di presenze cacciatori/giorno nella Provincia di Imperia nella Stagione Venatoria 2017-2018.

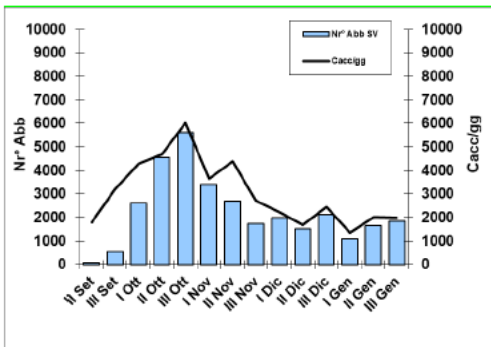


Fig. 31. Andamento degli abbattimenti di Tordo bottaccio (*T. philomelos*) e di presenze cacciatori/giorno nella Provincia di Savona nella Stagione Venatoria 2017-2018.

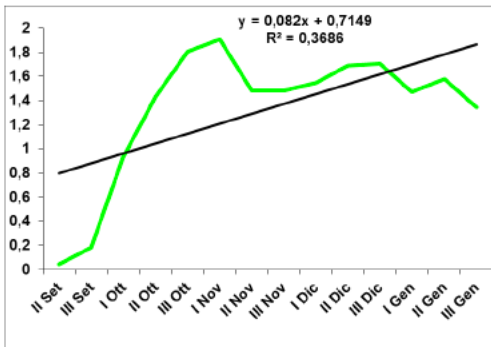


Fig. 34. Catture Per Unità di Sforzo (CPUE) di Tordo bottaccio (*T. philomelos*) nella Provincia di Imperia nella Stagione Venatoria 2017-2018.

Nel grafico è riportata la linea di tendenza (regressione lineare), la relativa equazione ed il coefficiente di correlazione ( $R^2$ ).

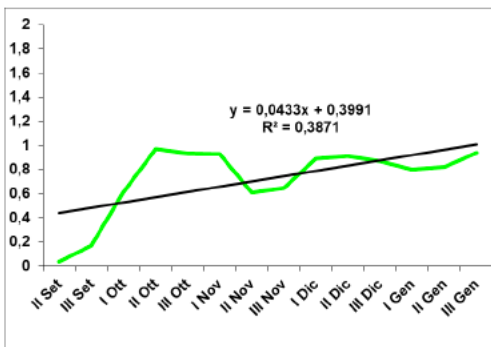


Fig. 35. Catture Per Unità di Sforzo (CPUE) di Tordo bottaccio (*T. philomelos*) nella Provincia di Savona nella Stagione Venatoria 2017-2018.

Nel grafico è riportata la linea di tendenza (regressione lineare), la relativa equazione ed il coefficiente di correlazione ( $R^2$ ).

# STAGIONE 2018-2019

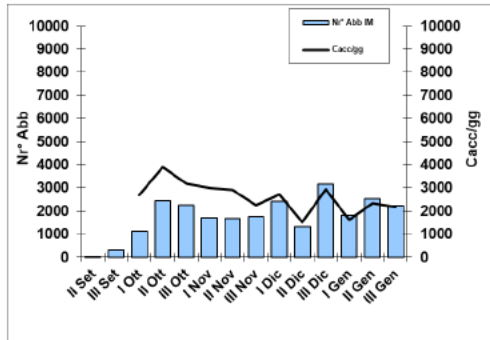


Fig. 30. Andamento degli abbattimenti di Tordo bottaccio (*T. philomelos*) e di presenze cacciatori/giorno nella Provincia di Imperia nella Stagione Venatoria 2018-2019.

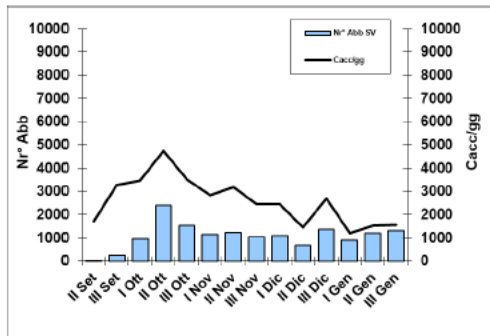
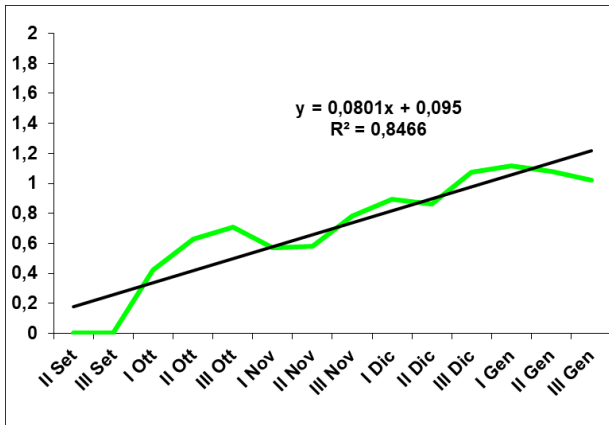
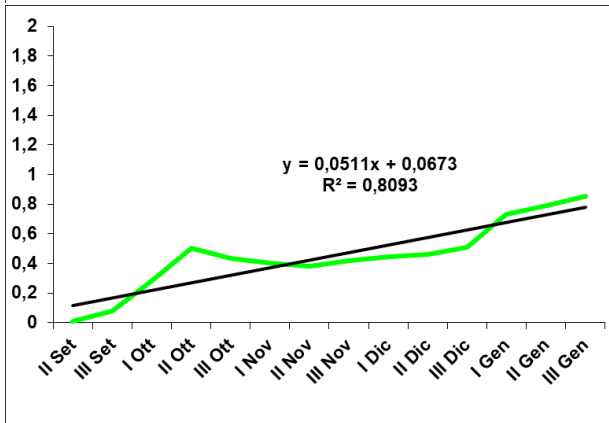


Fig. 31. Andamento degli abbattimenti di Tordo bottaccio (*T. philomelos*) e di presenze cacciatori/giorno nella Provincia di Savona nella Stagione Venatoria 2018-2019.



Catture Per Unità di Sforzo (CPUE) di Tordo bottaccio (*T. philomelos*) nella Provincia di Imperia nella Stagione Venatoria 2018-2019. Nel grafico è riportata la linea di tendenza (regressione lineare), la relativa equazione ed il coefficiente di correlazione ( $R_2$ ).



Catture Per Unità di Sforzo (CPUE) di Tordo bottaccio (*T. philomelos*) nella Provincia di Savona nella Stagione Venatoria 2018-2019. Nel grafico è riportata la linea di tendenza (regressione lineare), la relativa equazione ed il coefficiente di correlazione ( $R_2$ ).

## STAGIONE 2019-2020 **Chiusura al 20 gennaio per effetto della sospensione del TAR**

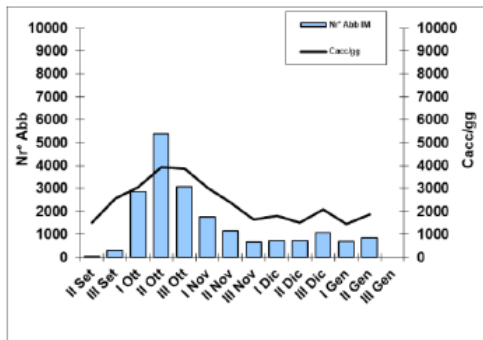


Fig. 30. Andamento degli abbattimenti di Tordo bottaccio (*T. philomelos*) e di presenze cacciatori/giorno nella Provincia di Imperia nella Stagione Venatoria 2019-2020.

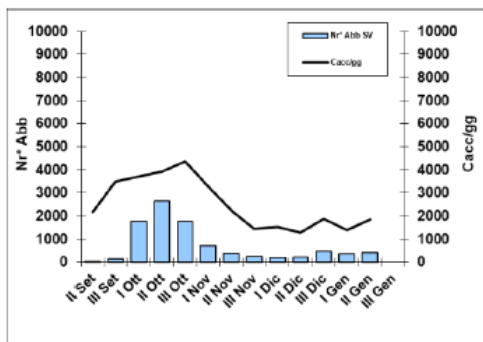


Fig. 31. Andamento degli abbattimenti di Tordo bottaccio (*T. philomelos*) e di presenze cacciatori/giorno nella Provincia di Savona nella Stagione Venatoria 2019-2020.

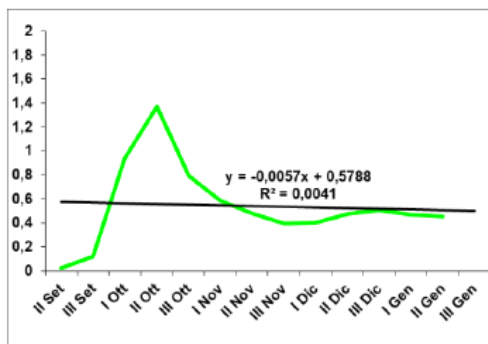


Fig. 34. Catture Per Unità di Sforzo (CPUE) di Tordo bottaccio (*T. philomelos*) nella Provincia di Imperia nella Stagione Venatoria 2019-2020.

Nel grafico è riportata la linea di tendenza (regressione lineare), la relativa equazione ed il coefficiente di correlazione ( $R^2$ ).

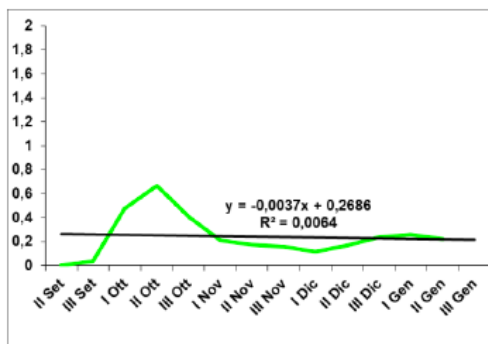


Fig. 35. Catture Per Unità di Sforzo (CPUE) di Tordo bottaccio (*T. philomelos*) nella Provincia di Savona nella Stagione Venatoria 2019-2020.

Nel grafico è riportata la linea di tendenza (regressione lineare), la relativa equazione ed il coefficiente di correlazione ( $R^2$ ).

## STAGIONE 2020-2021 Chiusura al 20 gennaio per effetto della sospensione del TAR

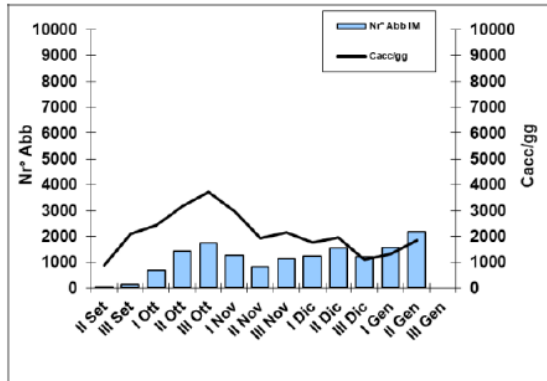


Fig. 30. Andamento degli abbattimenti di Tordo bottaccio (*T. philomelos*) e di presenze cacciatori/giorno nella Provincia di Imperia nella Stagione Venatoria 2020-2021.

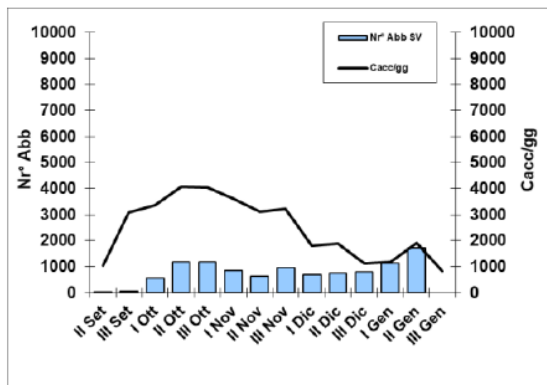


Fig. 31. Andamento degli abbattimenti di Tordo bottaccio (*T. philomelos*) e di presenze cacciatori/giorno nella Provincia di Savona nella Stagione Venatoria 2020-2021.

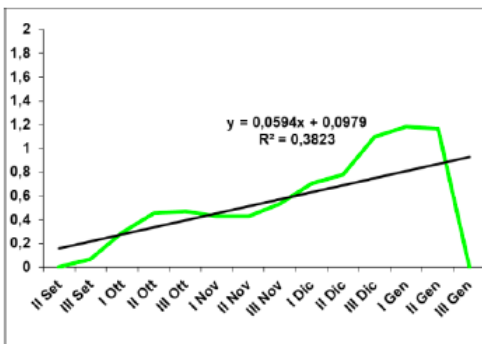


Fig. 34. Cature Per Unità di Sforzo (CPUE) di Tordo bottaccio (*T. philomelos*) nella Provincia di Imperia nella Stagione Venatoria 2020-2021.

Nel grafico è riportata la linea di tendenza (regressione lineare), la relativa equazione ed il coefficiente di correlazione ( $R^2$ ).

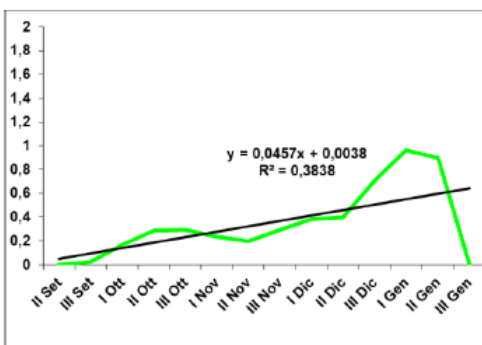


Fig. 35. Cature Per Unità di Sforzo (CPUE) di Tordo bottaccio (*T. philomelos*) nella Provincia di Savona nella Stagione Venatoria 2020-2021.

Nel grafico è riportata la linea di tendenza (regressione lineare), la relativa equazione ed il coefficiente di correlazione ( $R^2$ ).

